

Figura 4.23 Trayectoria de tensión y succión, en los ensayos de carga isotrópica y de colapso bajo inundación a carga constante, (ejemplo ensayo B1).

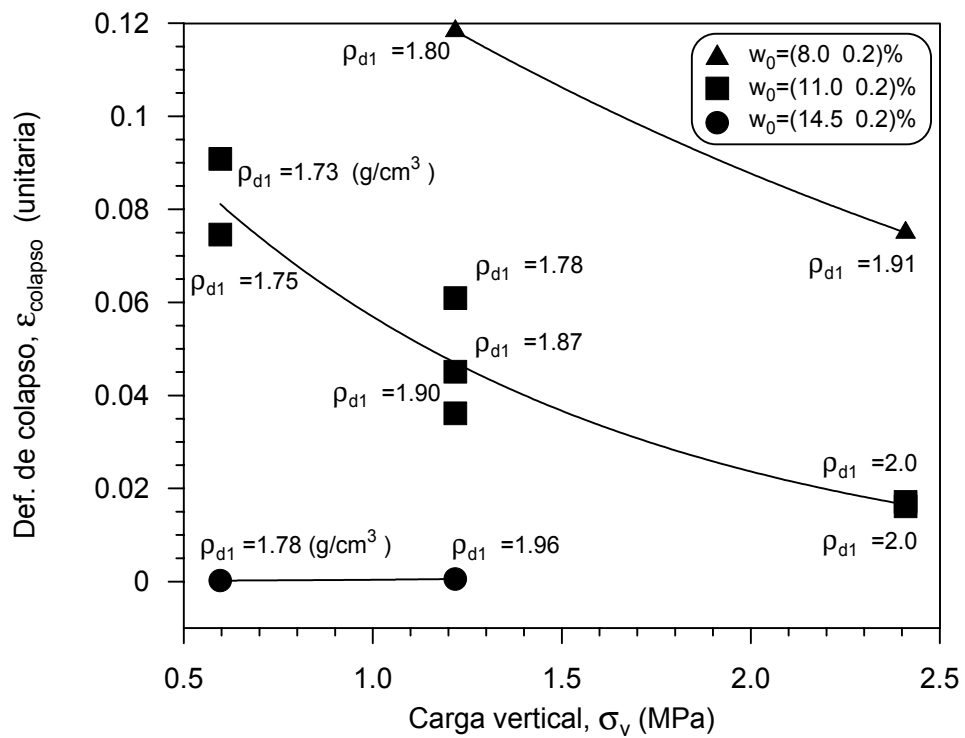


Figura 4.24 Deformación de colapso para diferentes valores de carga vertical aplicada.

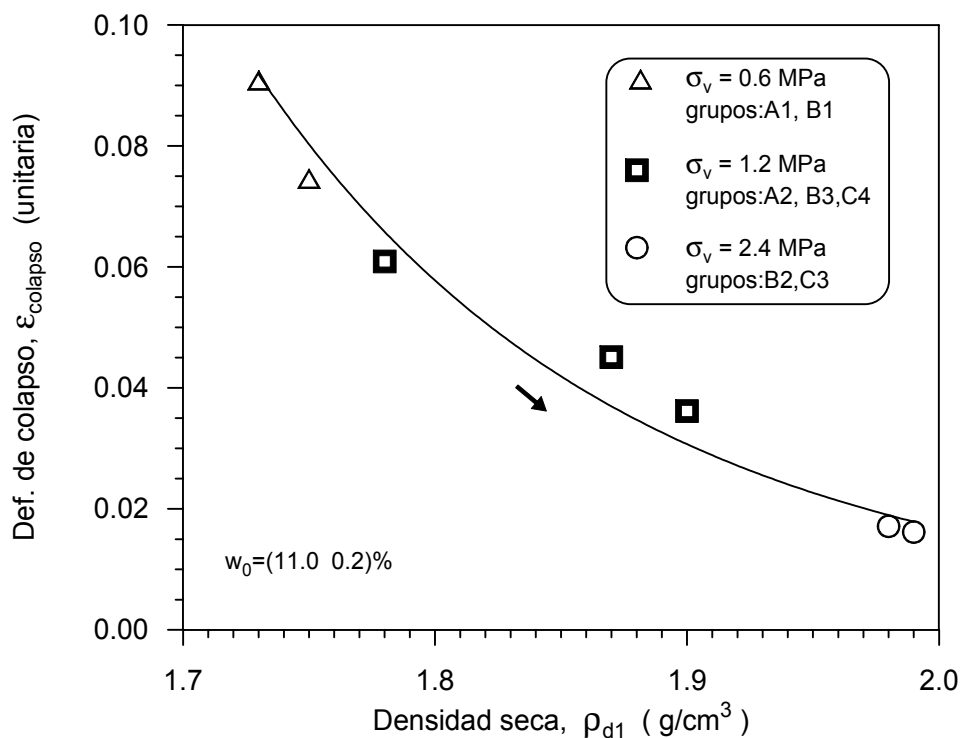


Figura 4.25 Colapso en función de la densidad seca en el momento de la inundación para muestras con la misma humedad inicial (11%).

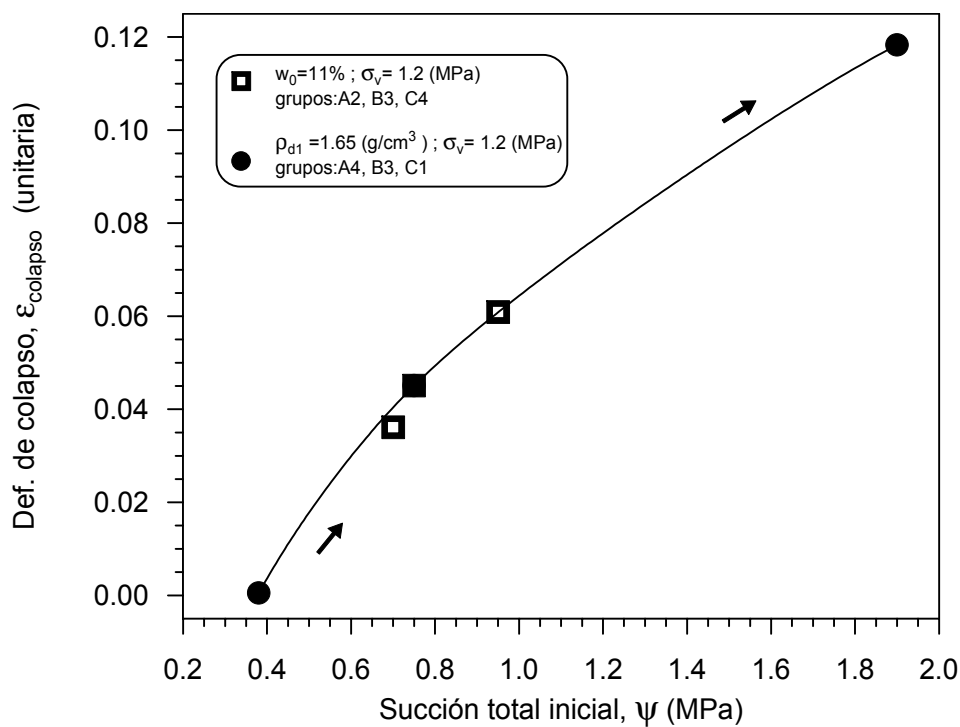


Figura 4.26 Influencia de la succión inicial total (ψ) en la deformación de colapso.

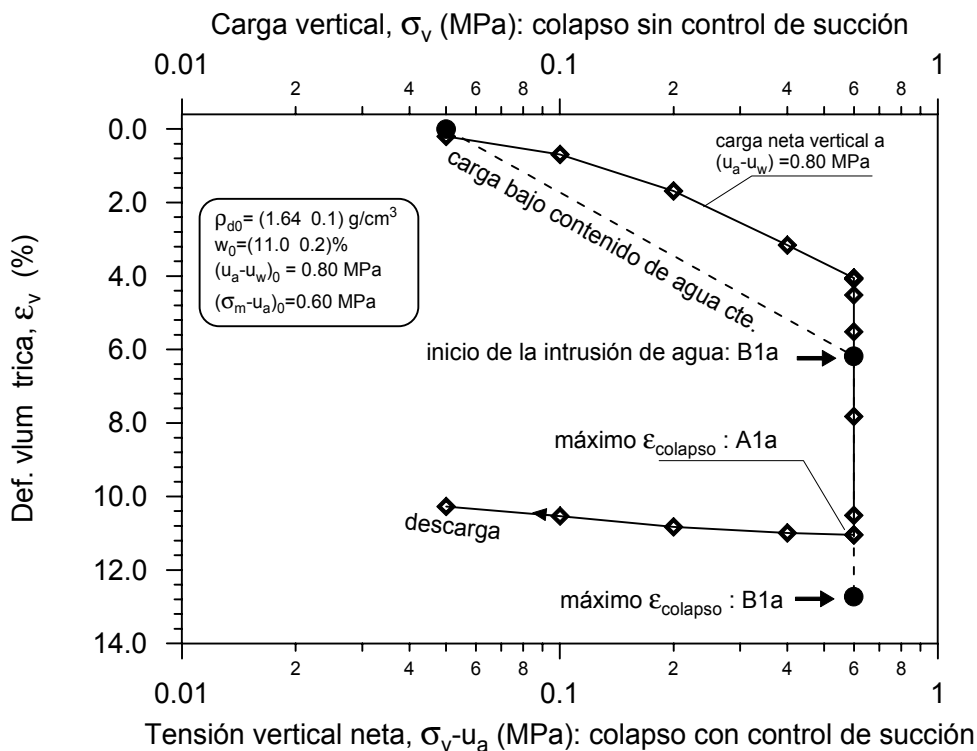


Figura 4.27 Variación de la deformación volumétrica en las trayectorias de carga, saturación y descarga, para los ensayos A1a y B1a.

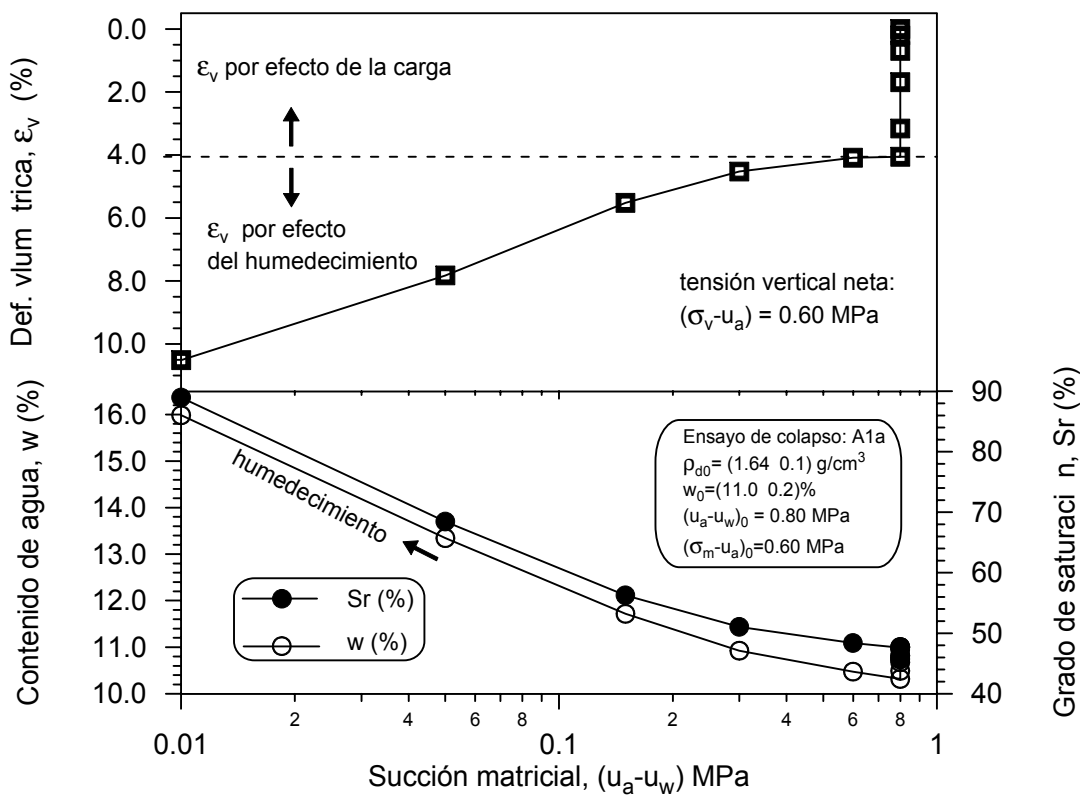


Figura 4.28 Variación de la deformación volumétrica, contenidos de agua y grados de saturación bajo tensión vertical neta constante.

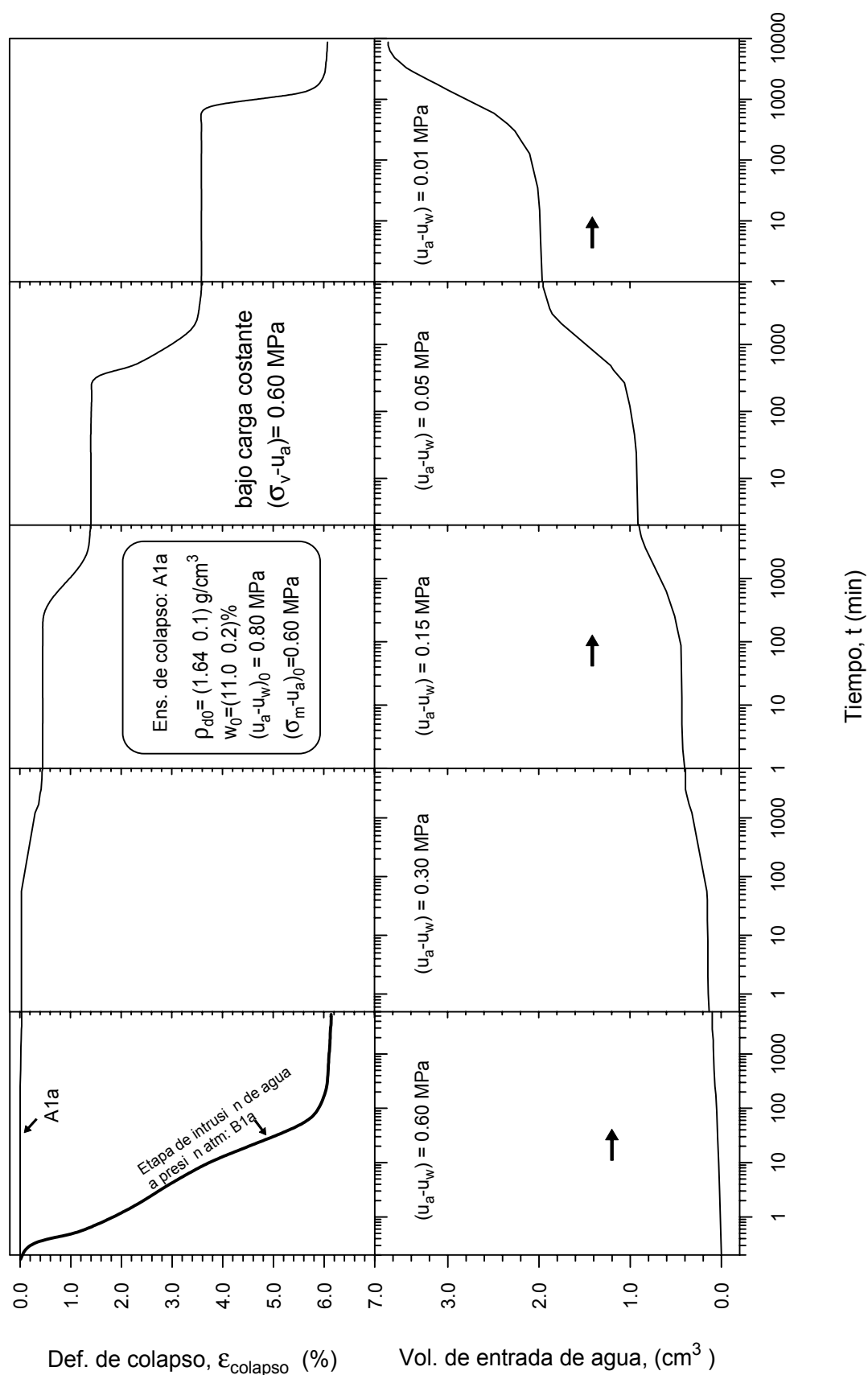


Figura 4.29 Evolución en el tiempo de la deformación de colapso, volumen de entrada de agua para el ensayo (A1a) en el proceso de humedecimiento. Deformación de colapso en la etapa de intrusión de agua a presión atm. para el ensayo B1a.

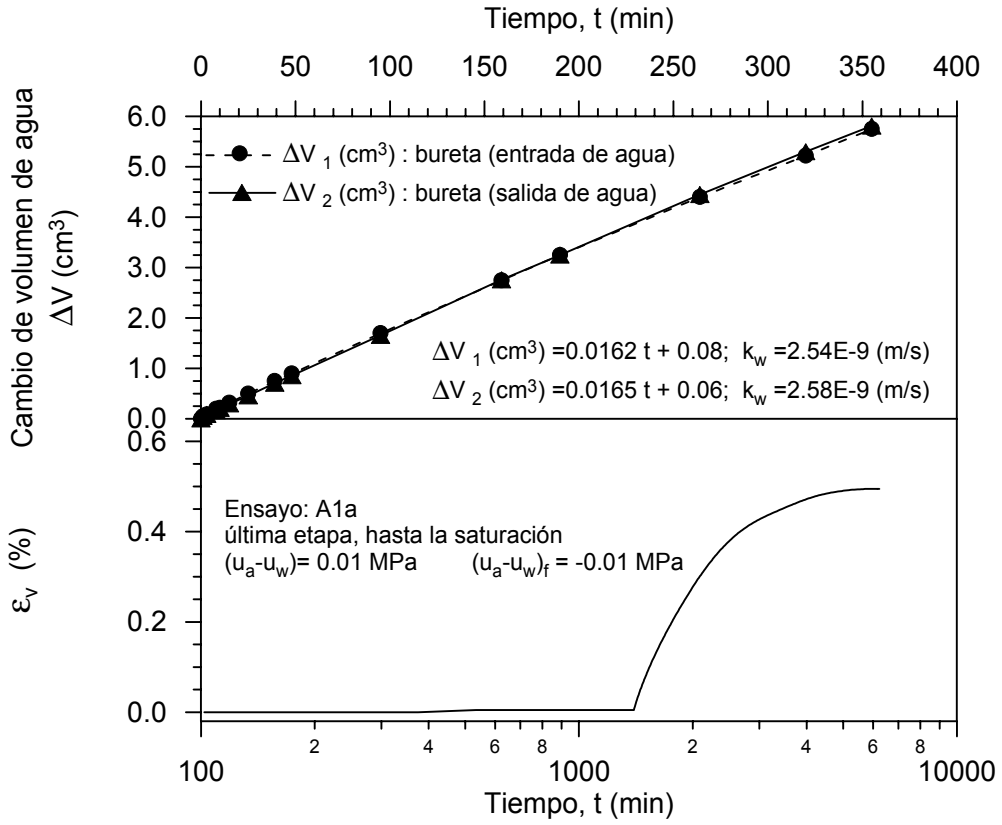


Figura 4.30 Relación entre volumen de agua-tiempo, para obtener la permeabilidad de la muestra y ratificar el 100 % de saturación de la misma.

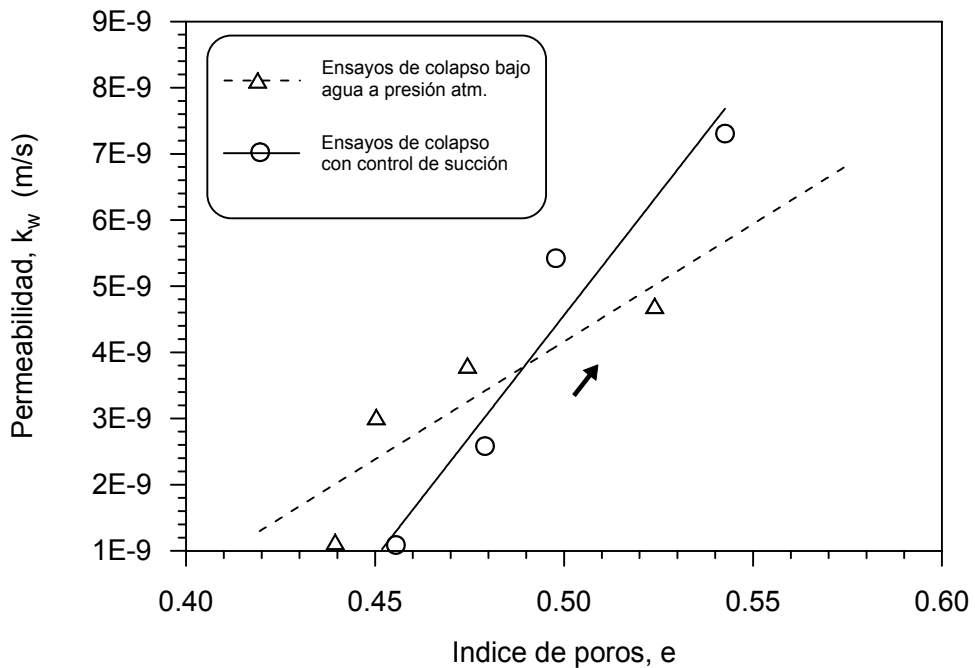


Figura 4.31 Relación porosidad-permeabilidad al agua. Ensayos de colapso.

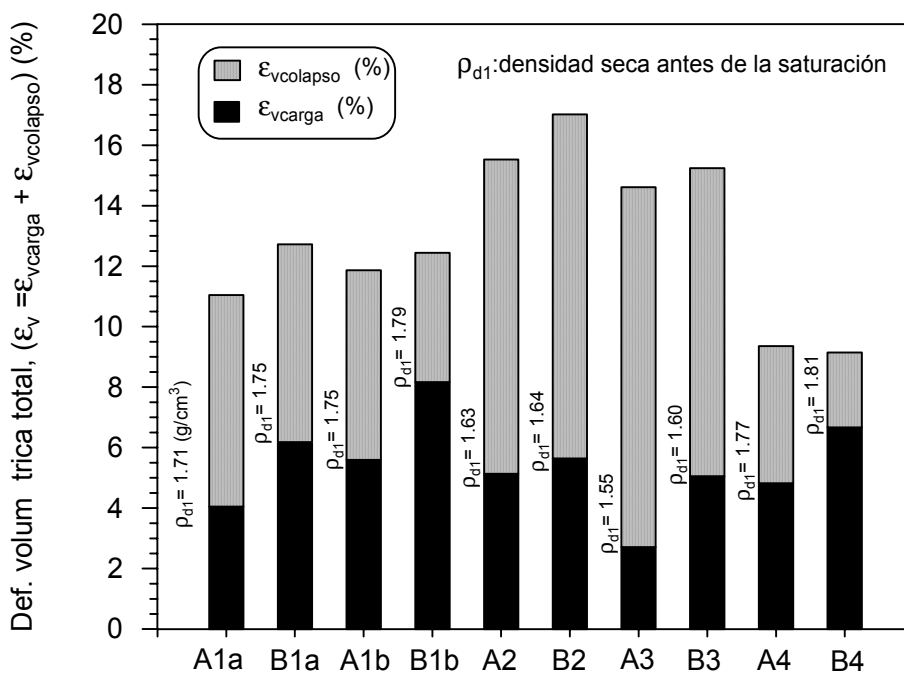


Figura 4.32 Comparación de la deformación volumétrica total entre los ensayos del grupo A (a succión controlada) y los ensayos del grupo B (intrusión de agua a presión atm.).

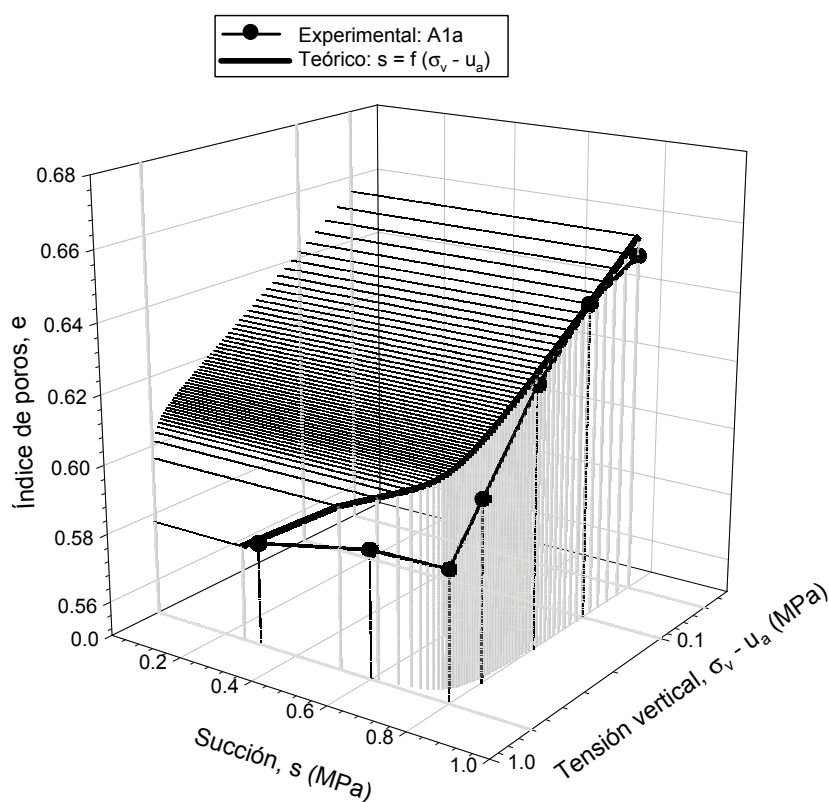


Figura 4.33 Simulación de la evolución de la trayectoria de carga en los ensayos de colapso sin control de succión (Grupo B).